

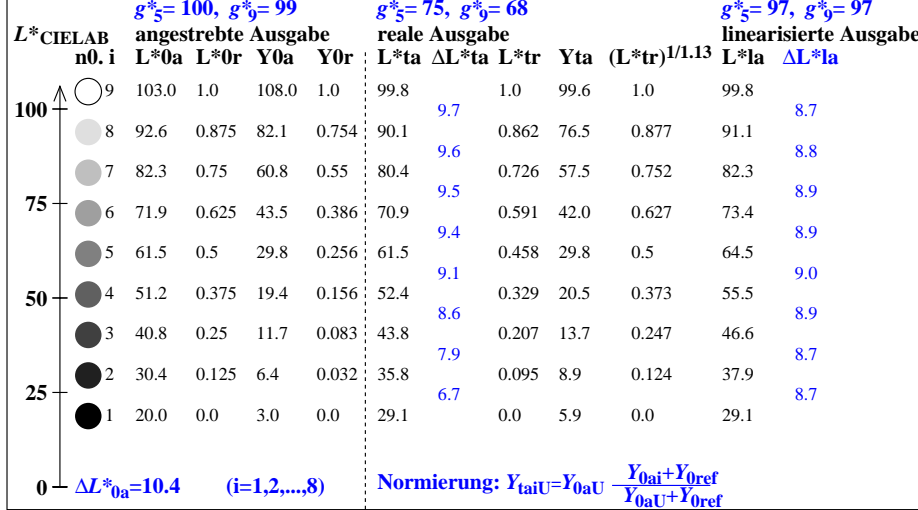
9stufige Grauskalierung zwischen  $L^*_{0aN}=20.0$  und  $L^*_{0aW}=103.0$ ,  $Y_{0ref}=3.6$ , Normierung Grau U

$L^*_{0aN}=20.0$ ,  $L^*_{0aU}=61.5$ ,  $L^*_{0aW}=103.0$ ,  $Y_{0aN}=3.0$ ,  $Y_{0aU}=29.8$ ,  $Y_{0aW}=108.0$ ,  $C_{0aY}=Y_{0aW}:Y_{0aN}=36.0$

$L^*_{taN}=29.1$ ,  $L^*_{taU}=61.5$ ,  $L^*_{taW}=99.8$ ,  $Y_{taN}=5.9$ ,  $Y_{taU}=29.8$ ,  $Y_{taW}=99.6$ ,  $C_{taY}=Y_{taW}:Y_{taN}=16.9$

Regularitätsindex nach ISO/IEC 15775:2022, Anhang G für 5 und 9 Stufen

$g^* = 100 [\Delta L^*_{min}] / [\Delta L^*_{max}]$ ,  $L^*_{CIELAB} = 116 [Y/Y_n]^{1/3} - 16$  mit  $Y >= 0,882$ ,  $Y_n=100$



eeek30-3n

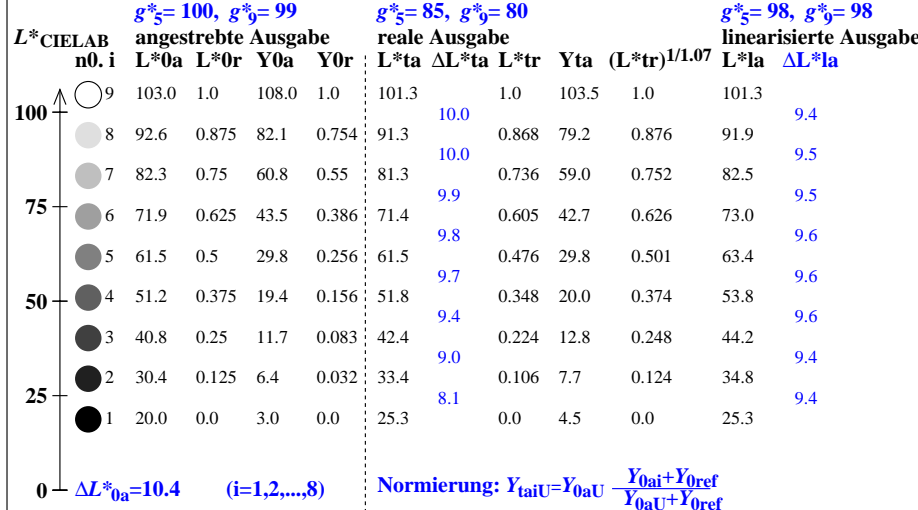
9stufige Grauskalierung zwischen  $L^*_{0aN}=20.0$  und  $L^*_{0aW}=103.0$ ,  $Y_{0ref}=1.8$ , Normierung Grau U

$L^*_{0aN}=20.0$ ,  $L^*_{0aU}=61.5$ ,  $L^*_{0aW}=103.0$ ,  $Y_{0aN}=3.0$ ,  $Y_{0aU}=29.8$ ,  $Y_{0aW}=108.0$ ,  $C_{0aY}=Y_{0aW}:Y_{0aN}=36.0$

$L^*_{taN}=25.3$ ,  $L^*_{taU}=61.5$ ,  $L^*_{taW}=101.3$ ,  $Y_{taN}=4.5$ ,  $Y_{taU}=29.8$ ,  $Y_{taW}=103.5$ ,  $C_{taY}=Y_{taW}:Y_{taN}=22.9$

Regularitätsindex nach ISO/IEC 15775:2022, Anhang G für 5 und 9 Stufen

$g^* = 100 [\Delta L^*_{min}] / [\Delta L^*_{max}]$ ,  $L^*_{CIELAB} = 116 [Y/Y_n]^{1/3} - 16$  mit  $Y >= 0,882$ ,  $Y_n=100$



eeek30-7n

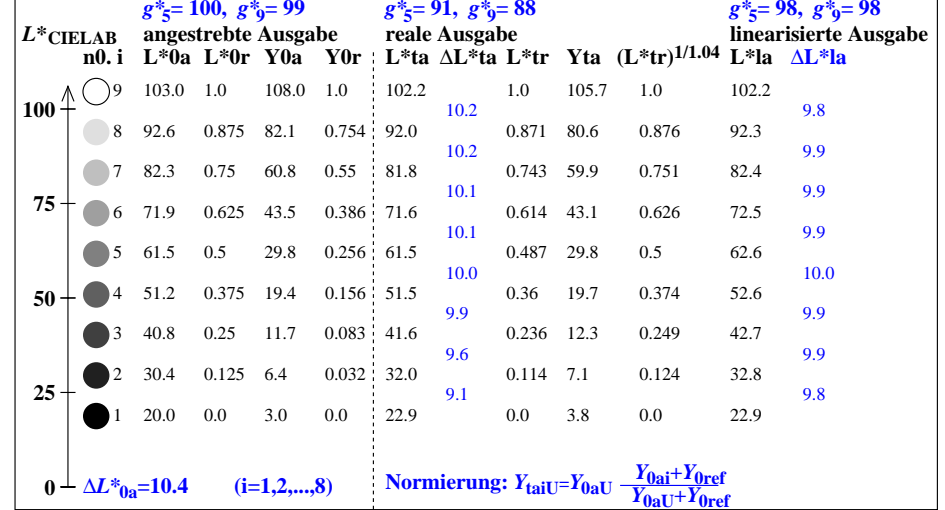
9stufige Grauskalierung zwischen  $L^*_{0aN}=20.0$  und  $L^*_{0aW}=103.0$ ,  $Y_{0ref}=0.9$ , Normierung Grau U

$L^*_{0aN}=20.0$ ,  $L^*_{0aU}=61.5$ ,  $L^*_{0aW}=103.0$ ,  $Y_{0aN}=3.0$ ,  $Y_{0aU}=29.8$ ,  $Y_{0aW}=108.0$ ,  $C_{0aY}=Y_{0aW}:Y_{0aN}=36.0$

$L^*_{taN}=22.9$ ,  $L^*_{taU}=61.5$ ,  $L^*_{taW}=102.2$ ,  $Y_{taN}=3.8$ ,  $Y_{taU}=29.8$ ,  $Y_{taW}=105.7$ ,  $C_{taY}=Y_{taW}:Y_{taN}=27.9$

Regularitätsindex nach ISO/IEC 15775:2022, Anhang G für 5 und 9 Stufen

$g^* = 100 [\Delta L^*_{min}] / [\Delta L^*_{max}]$ ,  $L^*_{CIELAB} = 116 [Y/Y_n]^{1/3} - 16$  mit  $Y >= 0,882$ ,  $Y_n=100$



eeek31-3n

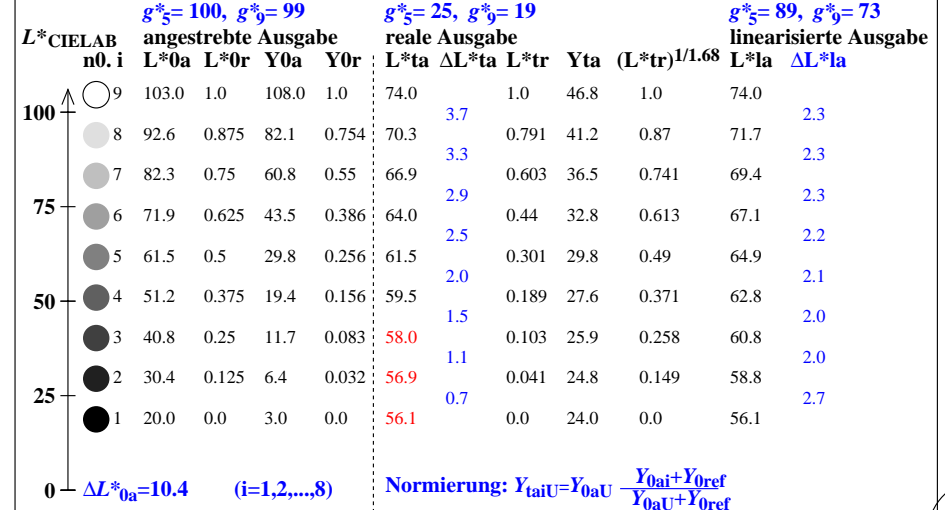
9stufige Grauskalierung zwischen  $L^*_{0aN}=20.0$  und  $L^*_{0aW}=103.0$ ,  $Y_{0ref}=108.0$ , Normierung Grau U

$L^*_{0aN}=20.0$ ,  $L^*_{0aU}=61.5$ ,  $L^*_{0aW}=103.0$ ,  $Y_{0aN}=3.0$ ,  $Y_{0aU}=29.8$ ,  $Y_{0aW}=108.0$ ,  $C_{0aY}=Y_{0aW}:Y_{0aN}=36.0$

$L^*_{taN}=56.1$ ,  $L^*_{taU}=61.5$ ,  $L^*_{taW}=74.0$ ,  $Y_{taN}=24.0$ ,  $Y_{taU}=29.8$ ,  $Y_{taW}=46.8$ ,  $C_{taY}=Y_{taW}:Y_{taN}=1.9$

Regularitätsindex nach ISO/IEC 15775:2022, Anhang G für 5 und 9 Stufen

$g^* = 100 [\Delta L^*_{min}] / [\Delta L^*_{max}]$ ,  $L^*_{CIELAB} = 116 [Y/Y_n]^{1/3} - 16$  mit  $Y >= 0,882$ ,  $Y_n=100$



eeek31-7n

Siehe ähnliche Dateien der ganzen Serie: http://farbe.li.tu-berlin.de/eeeks.htm  
Technische Information: http://farbe.li.tu-berlin.de oder http://color.li.tu-berlin.de

TUB-Registrierung: 20230701-eeek3/eeek310np.pdf / .ps  
Anwendung für Beurteilung und Messung von Display- oder Druck-Ausgabe  
TUB-Material: Code=rh4ta